

2006-144



**TÜRKİYE BİLİMSEL VE
TEKNOLOJİK ARAŞTIRMA KURUMU**

**THE SCIENTIFIC AND TECHNOLOGICAL
RESEARCH COUNCIL OF TURKEY**

1047080

**OKSOMOLİBDENTRİSPİRAZOLBORAT
EŞİKLERİNİN SUSUZ VE SULU ORTAMLarda
ANİLİN VE FENOL TÜREVLERİYLE
REAKSİYONLARI**

Temel Bilimer Araştırma Grubu
Basic Sciences Research Grant Committee

2006-73778



**TÜRKİYE BİLİMSEL VE
TEKNİK ARAŞTIRMA KURUMU**

**THE SCIENTIFIC AND TECHNICAL
RESEARCH COUNCIL OF TURKEY**

1047080

**OKSOMOLİBDENTRİSPİRİAZOLBORAT
BİLEŞİKLERİNİN SUSUZ VE SULU ORTAMLarda
ANİLİN VE FENOL TÜREVLERİYLE
REAKSİYONLARI**

Temel Bilimler Araştırma Grubu

Natural Sciences Research Group

**OKSOMOLİBDENTRİSPİRAZOLBORAT BİLEŞİKLERİNİN
SUSUZ VE SULU ORTAMLarda ANİLİN VE FENOL
TÜREVLERİYLE REAKSİYONLARI**

PROJE NO: (104T080)

**PROF. DR İŞİL TOPALOĞLU-SÖZÜER
ARŞ. GÖR. ALEV GÜNYAR**

**EYLÜL 2006
İZMİR**

Önsöz:

Bu proje oxo-molibden bileşiklerinin sulu ve susuz ortamlarda anilin ve fenol türevleriyle reaksiyonlarını içermekte olup TÜBİTAK ve İYTE araştırma fonu tarafından desteklenmiştir. Projenin yürütülmesi esnasında yapmış olduğu destekten dolayı TÜBİTAK'a teşekkür borç biliriz.

İçindekiler:

1.	Özet.....	1
1.1	Abstract.....	1
2.1.	Giriş.....	2
2.2	Genel bilgiler.....	2
2.3	Yöntem.....	3
2.4.	Gelişme.....	3
2.4.1	[MoTp*(O)Cl ₂] Bileşığının Anilin Türevleriyle Reaksiyonları.....	3
2.4.1.1	[Tp*Mo(O)Cl](μ-O)[Tp*Mo(NC ₆ H ₄ OEt-4)Cl] (1) bileşığının sentezi.....	4
2.4.1.2.	[Tp*Mo(O)Cl](μ-O)[Tp*Mo(NC ₆ H ₄ OPr _n -4)Cl] bileşığının sentezi	4
2.4.2.	Mekanistik Çalışmalar.....	7
2.4.3.	Elektrokimyasal Çalışmalar.....	8
2.5.	Sulu Ortamda reaksiyonlar.....	9
2.6.	[MoTp*(O)Cl ₂] Bileşığının Fenol ve Türevleriyle reaksiyonları.....	10
2.7.	Okso-molibden (VI) ve okso-molibden (IV) Kimyası.....	10
2.7.1.	Çözgen ile Stabilize Edilmiş Bileşigin Sentezi.....	10
2.7.2.	PPh ₃ 'ün Yükseltgenmesi.....	11
2.7.3.	MoOCl ₂ (THF) ₂ bileşığının halkalı azot donoru ligandlarla reaksiyonları.....	12
2.7.4.	MoOCl ₂ (thf) ₂ Bileşığının etilendiamin ile reaksiyonu.....	13
2.7.5.	MoOCl ₂ (thf) ₂ Bileşığının bipiridin ile reaksiyonu.....	14
2.7.6.	Spektroskopik Veriler.....	15
2.8.	Sonuç.....	18
2.6.	Yararlanılan Kaynaklar.....	20

1. Özет

Bu projenin birinci kısmında oxo-Mo(VI) bileşığının, $[MoTp^*(O)Cl_2]$ ($Tp^*=$ 3,5-dimetil pirazol borat) $H_2NC_6H_4X$ ($X = OEt, OPr-n$) ve $H_2NC_6H_5$ ile hem sulu hemde susuz ortamlarda anilin ve fenol türevleriyle reaksiyonları gerçekleştirılmıştır. Sulu ortamda reaksiyonların hepsinde daha önceden literatürde verilmiş olan $\{[MoTp^*(O)Cl]_2(\mu-O)\}$ (Miller, 2002) bileşiği elde edilmiştir. Susuz ortamlarda anilin türevleriyle reaksiyonlar sonucu elde edilen bimetalik Mo-O-Mo içeren bileşiklerin spektroskopik yöntemlerle yapıları aydınlatılmış ve bileşikler üzerinde elektrokimyasal çalışmalar yapılmıştır. Fenol türevleriyle olan reaksiyonların verimleri çok düşük olduğundan devam edilmemiştir. Projenin ikinci kısmında ise çözgen ile stabilize edilmiş okso-molibden(VI), $MoO_2Cl_2(THF)_2$, bileşığının önce bir oksijen atomunun PPh_3 ile oksijen atom transfer (OAT) reaksiyonuyla uzaklaştırılması sonucu elde edilen okso-molibden(IV) bileşığının bazı azot donoru ligandlarla reaksiyonları üzerinde çalışılmıştır. Bu çalışmalarдан elde edilen bileşikler 1H -NMR, ^{13}C -NMR, FTIR, spektroskopi yöntemleriyle karekterize edilmeye çalışılmıştır.

1.1 Abstract:

In the first part of the Project the reactions of oxo-Mo(VI) compound, $[MoTp^*(O)Cl_2]$ ($Tp^*=$ 3,5-dimethyl pyrazol borate) with $H_2NC_6H_4X$ ($X = OEt, OPr-n$) ve $H_2NC_6H_5$ in aqueous and non-aqueous media were done. All the reactions in aqueous media were yielded the previously reported compound, $\{[MoTp^*(O)Cl]_2(\mu-O)\}$ (Miller, 2002). Therefore, a new synthetic method for this compound was achieved. The reactions in non-aqueous media were resulted in bimetallic Mo-O-Mo compounds which were characterized by spectroscopic techniques and underwent electrochemical investigations. The reactions with phenol derivates produced compounds with very low yields. In the second part of the project, one oxygen atom in $MoO_2Cl_2(THF)_2$ was removed with PPh_3 by the OAT reaction of the solvent-stabilized oxo-molybdenum(VI) compound to yield the oxo-molybdenum(IV) species $MoOCl_2(THF)_2$. The reactions of the oxo-molybdenum(IV) compound with some N-donor ligands were investigated. The new compounds obtained by these reactions were examined by using FTIR, 1H and ^{13}C NMR spectroscopy techniques.

2.1 Giriş:

Bu proje'nin ilk kısmı oxo-molibden bileşiklerinin sulu ve susuz ortamlarda anilin, fenol türevleriyle reaksiyonlarını ve oxomolibden(VI) bileşiklerinin azot donoru aromatik ligandlarla reaksiyonlarını içermektedir. Bu proje TBAG-AY/255 nolu projenin sonuçlarından yola çıkılarak önerilmiştir. TBAG-AY/255 nolu proje kapsamında $[MoTp^*(O)Cl_2]$ ($Tp^* = 3,5$ -dimetil pirazol borat) bileşığının substutiye anilin türevleriyle reaksiyonları gerçekleştirilmiş ve $[MoTp^*(O)Cl](\mu-O)[MoTp^*(Cl)(=NC_6H_4X)]$ ($X = NO_2, OMe$ (Sozuer, 2004) (*p*-Cl, Br, I, F) (Topaloğlu-Sözüer 2005) yapısındaki bileşikler elde edilerek yapıları hem spektroskopik hem de X-ray difraksiyon methodu ile aydınlatılmıştır. Bu bileşikler literatürde Mo-O-Mo içeren ilk oxo-imido trispirazolborat oxo-Mo(V) bileşikleridir. Bu nedenle hem seriyi genişletmek hemde elektrokimyasal çalışmalar yaparak reaksiyon mekanizmasını daha iyi anlamak için ve susuz ortamlarda gerçekleştirilen bu reaksiyonların sulu ortamlarda da gerçekleştirilebilirliğinin araştırılması amacıyla bu proje önerilmiştir.

2.2. Genel Bilgiler:

Geçiş metal okso bileşiklerinin koordinasyon kimyasında çok önemli bir yeri vardır. Yüksek oksidasyon haline sahip grup elementlerinin çoğu bir veya daha fazla sayıda okso gurubu içerebilirler. Bu tip bileşiklerin çok geniş bir yalpaze içinde çeşitli katalitik sistemlerde (metalloenzimler, metal-oksit yüzey reaksiyonları) yer aldıkları bilinmektedir. Genelde bu organik dönüşümlerin ve biyolojik işlemlerin en kritik noktası OAT (oksijen atom transfer) reaksiyonlarıdır. Sentezlenen, karakterize edilen ve katalizör olarak kullanılan çok sayıdaki geçiş metal-okso bileşiği arasında molibden, üzerinde en yaygın olarak çalışılmış olan elementtir. Molibdenin koordinasyon kimyası üzerine çok çeşitli çalışmalar bulunmaktadır. (Arzoumamian, 1998 ve 2006, Trofimenko, 1971).

Molibden çok çeşitli oksidasyon hallerine sahip olduğundan, koordinasyon sayısı kolaylıkla değişerek, hem temel bilim hemde çeşitli uygulamaları açısından çok önemli olan tek ve iki çekirdekli okso bileşikleri oluşturabilmektedir. Yüksek oksidasyon hallerine sahip tek veya çok çekirdekli birçok okso bileşiği bilinmektedir. Ayrıca molibden, birçok homojen ve heterojen katalizörün sentezinde yaygın olarak kullanılan bir elementtir. Molibden'in birçok enzimatik

sistem içinde çok gereklili olduğu bilinmektedir. Molibden kimyası ile ilgili önemli bir hususda özellikle Mo(III), Mo(IV) ve Mo(V)ün oksidasyon halleri ve koordinasyon sayıları arasındaki kolay dönüşümüdür. Mo(V)-okso bileşikleri özellikle endüstriyel ve biokimyasal katalizör olarak uygulamaları ile önemlidir. (Kuhn, 1999)

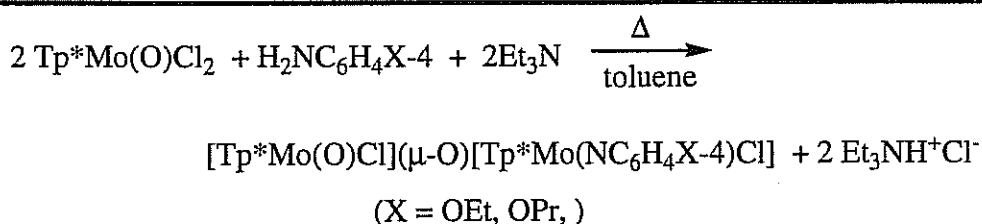
2.3 Yöntem:

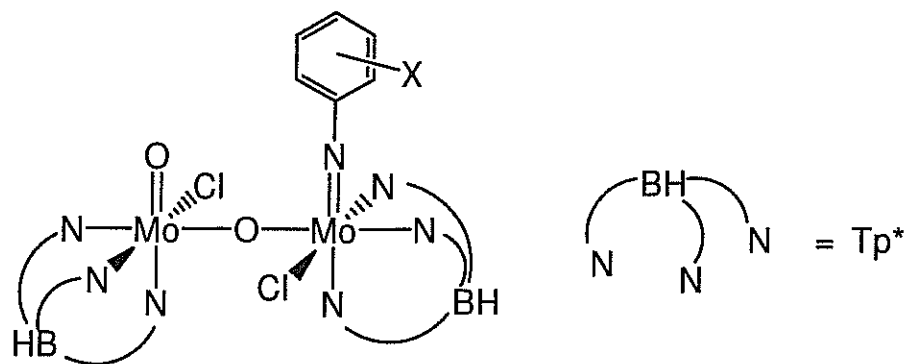
Bu proje kapsamında gerçekleştirilen bütün sentezler bölümümüz anorganik kimya laboratuarında bulunan “vakum line-silenk” teknigi kullanılarak inert gaz atmosferinde yapılmıştır. Çalışmalarda kullanılan bütün çözgenler kullanılmadan literatürde belirtilen yöntemler ile kullanılmadan önce kurutulmuştur.

2.4 Gelişme:

2.4.1 $[\text{MoTp}^*(\text{O})\text{Cl}_2]$ Bileşiginin Anilin Türevleriyle Reaksiyonları

Projenin Bu kısmında $[\text{MoTp}^*(\text{O})\text{Cl}_2]$ ($\text{Tp}^* = 3,5\text{-dimetil pirazol borat}$) bileşiginin substituye anilin türevleriyle reaksiyonları gerçekleştirilmiştir. Daha önceden TBAG-AY/255 nolu proje kapsamında elde edilen sonucların paralelinde $[\text{MoTp}^*(\text{O})\text{Cl}_2]$ bileşiginin $\text{H}_2\text{NC}_6\text{H}_4\text{X}$ ($\text{X} = \text{OEt, OPr-n}$) ve $\text{H}_2\text{NC}_6\text{H}_5$ ile reaksiyonları gerçekleştirilmiştir. Bu reaksiyonlar oda sıcaklığında Et_3N varlığında gerçekleştirilmiş olup anilin ligandının çifte deprotonasyonu ile $[\text{Tp}^*\text{Mo}(\text{O})\text{Cl}(\mu-\text{O})][\text{Tp}^*\text{Mo}(\text{NC}_6\text{H}_4\text{X}-4)\text{Cl}]$ ($\text{X} = \text{OEt, (1); OPr, (2)}$) bileşikleri elde edilmiştir.





Şekil 1. $[Tp^*\text{Mo}(\text{O})\text{Cl}(\mu\text{-O})][Tp^*\text{Mo}(\text{NC}_6\text{H}_4\text{X})\text{Cl}]$ ($\text{X} = \text{OEt}$, (1); ve OPr , (2) bileşiklerinin yapısı

Bu reaksiyonlarda okso-imido molibden(V) bileşikleri asıl ürün olup kolondan ilk gelen üründür. Çok az miktardada olsa dimerik $[\{\text{MoTp}^*(\text{O})\text{Cl}\}_2(\mu\text{-O})]$ bileşiği ele geçtiği gözlenmiştir. $[Tp^*\text{Mo}(\text{O})\text{Cl}(\mu\text{-O})][Tp^*\text{Mo}(\text{NC}_6\text{H}_4\text{X})\text{Cl}]$ ($\text{X} = \text{OEt}$ ve OPr) bileşikleri diklorometan/hekzan karışımı (1:4) ile kristallendirilmiş olup çoğu organik çözgünde çözünmekte dirler.

2.4.1.1. $[Tp^*\text{Mo}(\text{O})\text{Cl}](\mu\text{-O})[Tp^*\text{Mo}(\text{NC}_6\text{H}_4\text{OEt-4})\text{Cl}]$ (1) bileşığının sentezi:

$[\text{MoTp}^*(\text{O})\text{Cl}_2]$ (0.2 g, 0.40 mmol) bileşiği $\text{H}_2\text{NC}_6\text{H}_4\text{OEt-4}$ (0.051 g, 0.20 mmol) ve kuru Et_3N (0.6 cm^3 , 0.42 mmol) kuru toluende (20 cm^3) azot altında 21 saat ısıtılmışlardır. Karışım diklorometanda çözülmüş ve $\text{CH}_2\text{Cl}_2/\text{n-hexane}$ (9:1) karışımında silika gel kullanılarak kolon yapılmıştır. koyu-kırmızı renkli bant $[Tp^*\text{Mo}(\text{O})\text{Cl}](\text{l-O})[Tp^*\text{Mo}(\text{NC}_6\text{H}_4\text{OEt-4})\text{Cl}]$ (0.09 g, 50 %) bileşliğini vermiştir.

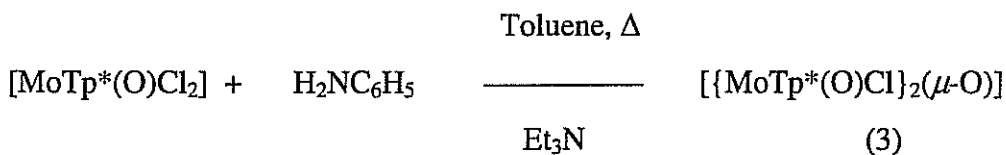
2.4.1.2. $[Tp^*\text{Mo}(\text{O})\text{Cl}](\mu\text{-O})[Tp^*\text{Mo}(\text{NC}_6\text{H}_4\text{OPr}_n\text{-4})\text{Cl}]$ (2) bileşığının sentezi:

$[\text{MoTp}^*(\text{O})\text{Cl}_2]$ (0.2 g, 0.40 mmol) bileşiği $\text{H}_2\text{NC}_6\text{H}_4\text{OPr}_n\text{-4}$ (0.06 g, 0.20 mmol) ve kuru Et_3N (0.6 cm^3 , 0.42 mmol) kuru toluende (20 cm^3) azot altında 19 saat ısıtılmışlardır. Karışım diklorometanda çözülmüş ve $\text{CH}_2\text{Cl}_2/\text{n-hexane}$ (9:1) karışımında silika gel kullanılarak kolon yapılmıştır. kahverengi renkli bant $[Tp^*\text{Mo}(\text{O})\text{Cl}](\text{l-O})[Tp^*\text{Mo}(\text{NC}_6\text{H}_4\text{OPr}_n\text{-4})\text{Cl}]$ (0.075 g, 55 %) bileşliğini vermiştir.

Tablo 1. $[Tp^*\text{Mo}(\text{O})\text{Cl}(\mu\text{-O})][Tp^*\text{Mo}(\text{NC}_6\text{H}_4\text{X})\text{Cl}]$ ($\text{X} = \text{OEt}$ ve OPr) bileşiklerine ait karekterizasyon verileri

Bileşik	Renk	Verim (%)	Elementel Analiz (Hesaplanan) (%)			FAB-MS
			C	H	N	
$\text{X} = \text{OEt}$	Koyu kırmızı	50	44.58(45.01)	5.21(5.52)	17.78(18.22)	1024.9
$\text{X} = \text{OPr}$	Kahverengi	55	45.10(45.44)	5.23(5.48)	17.53(17.96)	1038.8

Aynı koşullarda $[\text{MoTp}^*(\text{O})\text{Cl}_2]$ bileşiğinin $\text{H}_2\text{NC}_6\text{H}_5$ ile de reaksiyonu gerçekleştirilmiş ve daha önceden literatürde sentezlenmiş olan $[\{\text{MoTp}^*(\text{O})\text{Cl}\}_2(\mu\text{-O})]$ bileşiği ele geçmiştir.



Elde edilen yeni bileşiklerin yapıları $^1\text{H-NMR}$, FTIR, kütle spektroskopisi yöntemleri kullanılarak aydınlatılmış ve elementel analiz ile desteklenmiştir (Tablo 1-3).

Tablo 2. $[Tp^*\text{Mo}(\text{O})\text{Cl}(\mu\text{-O})][Tp^*\text{Mo}(\text{NC}_6\text{H}_4\text{X})\text{Cl}]$ ($\text{X} = \text{OEt}$ ve OPr) bileşiklerine ait IR Verileri

Compound	$\nu_{(B-H)}^{\text{a}}$	$\nu_{(Mo=O)}^{\text{a}}$	$\nu_{(C-H)}^{\text{a}}$	$\nu_{(Mo\equiv N)}^{\text{a}}$	$\nu_{(Mo-Cl)}^{\text{b}}$
$\text{X} = \text{OEt}$	2547	949	1413	1212	426.5
$\text{X} = \text{OPr}$	2547	961	1410	1212	426.5

^aKBr disk halinde. ^b CH_2Cl_2 de.

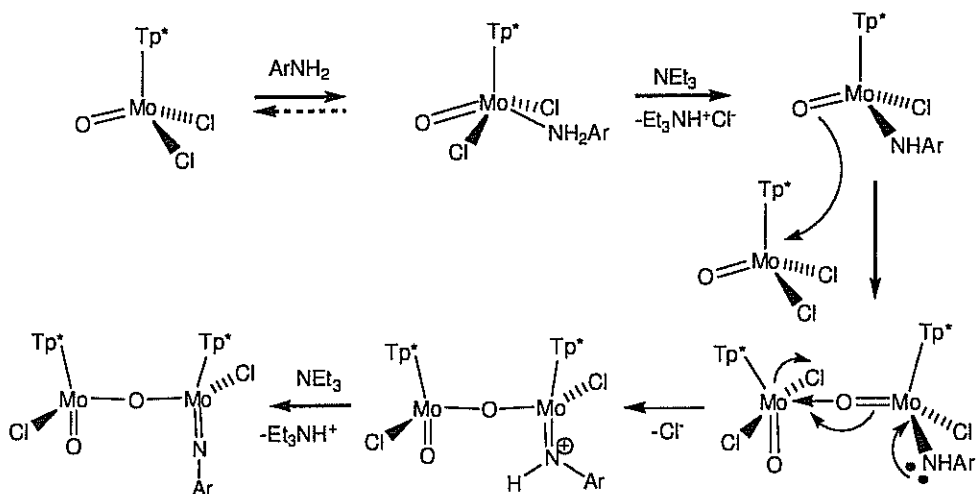
Tablo 3. [Tp^{*}Mo(O)Cl(μ-O)][Tp^{*}Mo(NC₆H₄X)Cl] (X = OEt ve OPr)
bileşiklerine ait ¹H NMR Verileri

δ /ppm)		Açıklama
X = OEt	X = OPr	
7.48 (d, 9)	7.51 (d, 9)	NC ₆ <u>H</u> ₄ OR
6.74 (d, 9)	6.75 (d, 9)	NC ₆ <u>H</u> ₄ OR
6.02 (s)	6.02 (s)	Me ₂ C ₃ <u>HN</u> ₂
5.92 (s)	5.92 (s)	Me ₂ C ₃ <u>HN</u> ₂
5.79 (s)	5.80 (s)	Me ₂ C ₃ <u>HN</u> ₂
5.77 (s)	5.79 (s)	Me ₂ C ₃ <u>HN</u> ₂
5.40 (s)	5.40 (s)	Me ₂ C ₃ <u>HN</u> ₂
5.34 (s)	5.35 (s)	Me ₂ C ₃ <u>HN</u> ₂
3.17 (s)	3.19 (s, br)	<u>Me</u> ₂ C ₃ HN ₂
2.75 (s)	2.72 (s, br)	<u>Me</u> ₂ C ₃ HN ₂
2.69 (s)	2.70 (s)	<u>Me</u> ₂ C ₃ HN ₂
2.46 (s)		<u>Me</u> ₂ C ₃ HN ₂
2.44 (s)	2.48 (s, br)*	<u>Me</u> ₂ C ₃ HN ₂
2.41 (s)		<u>Me</u> ₂ C ₃ HN ₂
2.34 (s)	2.36 (s)	<u>Me</u> ₂ C ₃ HN ₂
2.33 (s)	2.33 (s)	<u>Me</u> ₂ C ₃ HN ₂
2.29 (s)	2.29 (s)	<u>Me</u> ₂ C ₃ HN ₂
1.25 (s)	1.55 (s)	<u>Me</u> ₂ C ₃ HN ₂
1.11 (s)	1.11 (s)	<u>Me</u> ₂ C ₃ HN ₂
1.03 (s)	1.03 (s)	<u>Me</u> ₂ C ₃ HN ₂
4.04 (q, 7)	3.93 (t, 7)	OCH ₂
	1.80	OCH ₂ CH ₂ CH ₃
1.41 (t, 7)	1.03 (t, 7)	CH ₂ CH ₃

Bileşiklerin ^1H NMR spektrumları önerilen asimetrik yapı ile uyum içinde olup (altı farklı pirazol halkası için 12 farklı metil rezonansı ve 6 farklı pirazol metil rezonansı gözlenmiştir). O nedenle daha önceden TBAG/Ay-255 kapsamında gurubumuzda sentezlenen ve yapıları X-ray difraksiyon metodu ile aydınlatılan $[\text{MoTp}^*(\text{O})\text{Cl}](\mu\text{-O})[\text{MoTp}^*(\text{Cl})(=\text{NC}_6\text{H}_4\text{X})]$ ($\text{X} = \text{NO}_2$, OMe , Sozuer, 2004; $\text{X} = p\text{-Cl}, \text{Br}, \text{I}, \text{F}$, Topaloğlu-Sözüer, 2005) bileşikleriyle aynı yapıya sahip oldukları düşünülmüştür. Zaten kütle spektroskopisi ve elementel analiz verileride bunu tam olarak desteklemektedir.

2.4.2. Mekanistik Çalışmalar:

$[\text{Tp}^*\text{Mo}(\text{O})\text{Cl}(\mu\text{-O})][\text{Tp}^*\text{Mo}(\text{NC}_6\text{H}_4\text{X})\text{Cl}]$ ($\text{X} = \text{OEt}$ ve OPr) bileşiklerinin $[\text{MoTp}^*(\text{O})\text{Cl}_2]$ ve $\text{H}_2\text{NC}_6\text{H}_4\text{X}$ 'den aşağıdaki mekanizma üzerinden elde edildiği düşünülmektedir.



Şekil 2. $[\text{Tp}^*\text{Mo}(\text{O})\text{Cl}(\mu\text{-O})][\text{Tp}^*\text{Mo}(\text{NC}_6\text{H}_4\text{X})\text{Cl}]$ ($\text{X} = \text{OEt}$ ve OPr) bileşiklerinin sentezleri için önerilen mekanizma.

$[\text{Tp}^*\text{Mo}(\text{O})\text{Cl}(\mu\text{-O})][\text{Tp}^*\text{Mo}(\text{NC}_6\text{H}_4\text{X})\text{Cl}]$ ($\text{X} = \text{OEt}$ ve OPr) bileşiklerinin $\text{H}_2\text{NC}_6\text{H}_4\text{X}$ ile reaksiyonundan iki kiral molibden atomu için bir imido grubunun yer aldığı dimerik bileşikler elde edilmiştir. Reaksiyonların ilk basamağında anilin, $\text{Tp}^*\text{Mo}(\text{O})\text{Cl}_2$ deki Mo(V) atomuna

eklenmektedir. NEt_3 yardımıyla HCl nin eliminasyonu elektron yoğunluğunu artırmakta ve bu bileşik $\text{Tp}^*\text{Mo(O)Cl}_2$ deki ikinci molibden atomuna saldırmaktadır. Oluşan iki çekirdekli ürün oksomolibden bileşigiden klor ligandının ve amidomolibden gurubundanda protonun eliminasyonu ile stabilize edilmekte ve aynı zamanda imido grubunun oluşumuna neden olmaktadır. O halde amido ara ürününün Lewis bazlığı ve iki klorür içeren çıkış maddesinin Lewis asitliği iki çekirdekli okso-imido molibden bileşiklerinin oluşumuna neden olmaktadır. Aşırı anilin ligandının oluşan ürüne bisamido bileşigi oluşturmak için tekrar saldırmasının nedeni ise üzerindeki molibden atomlarının, klorur atomunun daha fazla π -donor özelliğe sahip μ -okso ligandıyla yer değiştirmesi sebebiyedir.

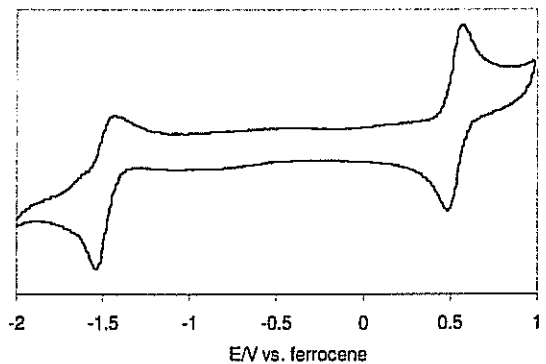
2.4.3. Elektrokimyasal Çalışmalar

$[\text{Tp}^*\text{Mo(O)Cl}(\mu\text{-O})][\text{Tp}^*\text{Mo(NC}_6\text{H}_4\text{X)Cl}]$ ($\text{X} = \text{OEt}$ ve OPr) üzerinde Toulouse Üniversitesiinden Prof. R. Poli ile işbirliği yapılarak elektrokimyasal çalışmalar yapılmıştır. Bu bileşikler ve $[\{\text{MoTp}^*(\text{O)Cl}\}_2(\mu\text{-O})]$ bileşigi CH_2Cl_2 'de siklik voltametri yöntemiyle incelenmiştir. Her iki okso-imido bileşigide reversibl tek elektron oksidasyonu göstermiş olup hiçbir indirgenme işleminin olmadığı gözlenmiştir. Oksidasyon işlemi her iki bileşik içinde aynı potansiyelde olması aromatik halka üzerindeki substituentin fazla etkisi olmadığını göstermektedir.

Tablo 4. $[\text{Tp}^*\text{Mo(O)Cl}(\mu\text{-O})][\text{Tp}^*\text{Mo(NC}_6\text{H}_4\text{X)Cl}]$ ($\text{X} = \text{OEt}$ ve OPr) Bileşiklerine ait $E_{1/2}$ (V) ve ΔE_p (mV) değerleri

Bileşik	Ar	$E_{1/2}/\text{V}$	$\Delta E_p/\text{mV}$	$\Delta E_p/\text{mV}$ of Cp_2Fe
$\text{X} = \text{OEt}$	$\text{C}_6\text{H}_4\text{OEt}-4$	+0.06	71	126
$\text{X} = \text{OPr}$	$\text{C}_6\text{H}_4\text{OPr}^n-4$	+0.06	81	133

$[\{\text{MoTp}^*(\text{O)Cl}\}_2(\mu\text{-O})]$ bileşiginin siklik voltogramı bu iki bileşik için elde edilenden farklı olup okso-imido bileşiklerine kıyasla daha yüksek bir potansiyelde ($E_{1/2} = 0.53$ V) reversibl oksidasyon içermektedir. Bu bileşik için ayrıca $E_{1/2} = 1.49$ V da kısmi reversibl indirgenmede tespit edilmiştir.

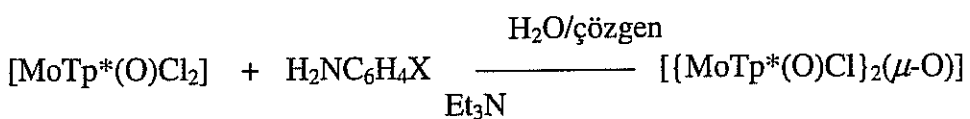


Şekil 3. $\left[\{\text{MoTp}^*(\text{O})\text{Cl}\}_2(\mu\text{-O})\right]$ bileşığının CH_2Cl_2 çözeltisindeki siklik voltogramı

İki katodik pikin şiddetinin eşit olup her iki işleminde aynı sayıda elektron içerdiğini göstermektedir. Her iki olayda muhtemelen bir elektron işlemidir çünkü standart ferrosene (145 mV) karşı pik ayırmaları sırasıyla yükseltgenme ve indirgenme için 90 ve 120 mV olarak tespit edilmiştir. Sonuç olarak okso ligandının imido ligandi ile yer değiştirmesinin redoks-aktif dimetal üzerinde büyük etkisi vardır.

2.5. Sulu Ortamdaki reaksiyonlar:

$[\text{MoTp}^*(\text{O})\text{Cl}_2]$ bileşığının $\text{H}_2\text{NC}_6\text{H}_4\text{X}-4$ ($\text{X} = \text{OEt}, \text{OPr-n}$) ve daha önceden TBAG/AY255 kapsamında gerçekleştirilen $[\text{MoTp}^*(\text{O})\text{Cl}_2]$ bileşığının $\text{H}_2\text{NC}_6\text{H}_4\text{X}-4$ ($\text{X} = \text{F}, \text{Cl}, \text{Br}, \text{I}, \text{OMe}, \text{NO}_2$) ile reaksiyonları organik çözgen kullanmadan gerek maliyet gerekse çevre faktörleri göz önüne alınarak sulu ortamda da denenmiş ancak bu reaksiyonların hepsinde daha önceden literatürde farklı yöntemlerle (Kassim, 2002; Miller, 2002) sentezi verilmiş olan $\left[\{\text{MoTp}^*(\text{O})\text{Cl}\}_2(\mu\text{-O})\right]$ bileşiği %50-70 arasında değişen verimlerle elde edilmiştir.



$\text{X} = \text{F}, \text{Cl}, \text{Br}, \text{I}, \text{OMe}, \text{OEt}, \text{OPr}, \text{NO}_2$

Elde edilen $[\{MoTp^*(O)Cl\}_2(\mu-O)]$ bileşığının daha önceden literatürde verilen sentez yöntemleri de sulu ortamlarda veya ıslak organik çözgünde gerçekleştirilen reaksiyonları içermektedir. Bizim sentezlerimiz daha önceden rapor edilmiş bu bileşik için yeni bir sentez yöntemi olmuştur. Ancak hem daha pahalı hem de daha zararlı olan organik çözgen kullanmadan söz konusu okso-imido Mo(V) bileşiklerinin sentezlerinin mümkün olmadığı sonucunu ortaya çıkarmaktadır.

$MoTp^*(O)Cl_2]$ and $C_6H_5NH_2$ bileşiklerinden $[\{MoTp^*(O)Cl\}_2(\mu-O)]$ bileşığının oluşumu da ilginç bir reaksiyon olup böylece söz konusu bileşik için daha önce literatürde verilen yöntemlerden farklı olarak yeni bir sentez yöntemi geliştirilmiştir. Bu bileşik daha önceden $[MoTp^*(O)_2Cl]$ ve PPh_3 ün 0.03% su içeren ıslak toluenedeki reaksiyonundan elde edilmiştir (Kassim, 2002). $[\{MoTp^*(O)Cl\}_2(\mu-O)]$ bileşiği için literatürde mevcut ikinci yöntem ise (Mille, 2002) 1,3-dimetoksi-para-tert-butilkalix[4]arene ve $[MoTp^*(O)Cl_2]$ bileşiklerinin toluen'deki reaksiyonu şeklindedir.

Proje'nin buraya kadar elde edilmiş sonuçları Inorganica Chimica Acta dergisinde 2005 yılında yayınlanmıştır (Ek 3).

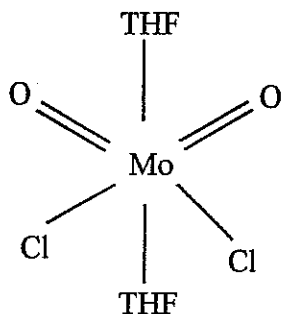
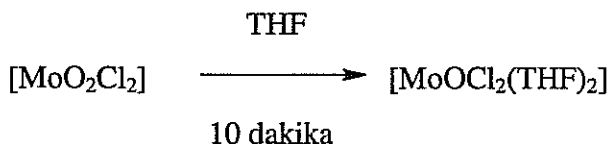
2.6. $[MoTp^*(O)Cl_2]$ Bileşığının Fenol ve Türevleriyle reaksiyonları:

$[MoTp^*(O)Cl_2]$ bileşığının fenol ve substiyen fenol türevleriyle olan reaksiyonları da susuz ortamlarda anilin türevleriyle olan reaksiyonlar ile aynı koşullarda gerçekleştirilmiş ancak saf ve yereli saflıkta ürünler elde edilememesi sebebiyle bu çalışmalara devam edilmemiştir.

2.7. Okso-molibden (VI) ve okso-molibden (IV) Kimyası:

2.7.1. Çözgen ile Stabilize Edilmiş Bileşigin Sentezi:

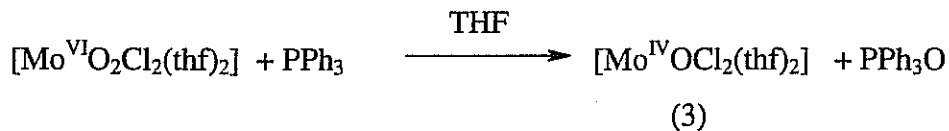
Çözgen ile stabilize edilmiş oksomolibden(VI) bileşigi, $[MoOCl_2(THF)_2]$ bileşigi, daha önceden literatürde verilen yöntemle aşağıdaki reaksiyona göre sentezlenmiştir (Herdtweck, 1999).



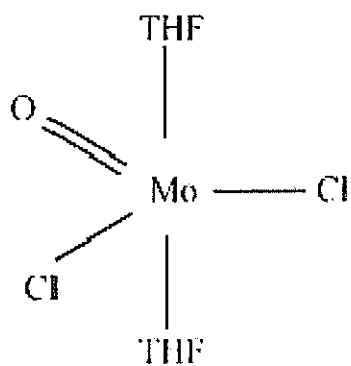
Şekil 4. $\text{MoO}_2\text{Cl}_2(\text{THF})_2$ bileşiğinin yapısı

2.7.2. PPh_3 'ün Yükseltgenmesi:

PPh_3 ün yükseltgenmesi çözgen ile stabilize edilmiş $[\text{Mo}^{\text{VI}}\text{O}_2\text{Cl}_2(\text{thf})_2]$ bileşigiden oksijen atom transfer (OAT) reaksiyonunu ile bir oksijen atomunun OPPh_3 olarak uzaklaştırılmasını içermektedir.



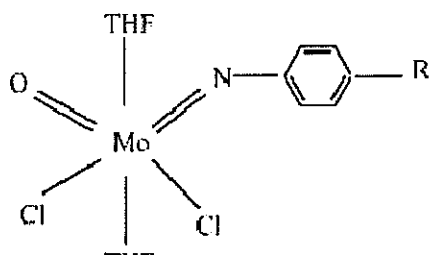
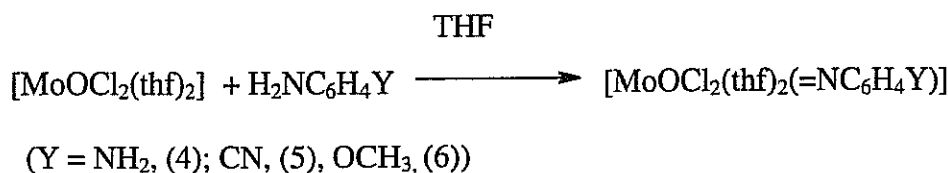
Reaksiyon başladıkten 4 saat sonra bir çökelek oluşmaya başlamıştır. Oluşan çökeleğin IR spektrumunda 1180 cm^{-1} de görülen pik OPPh_3 oluşumuna en iyi kanıttır. Ayrıca elde edilen bileşığın ^{13}P NMR spektrumu da hiçbir bant içermemekte olup molibdene bağlı bir fosfor atomu olmadığını kanıtlamaktadır.



Şekil 5. $\text{MoOCl}_2(\text{thf})_2$ bileşiğinin yapısı

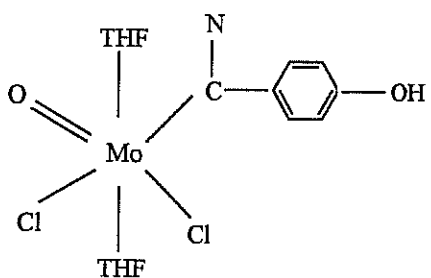
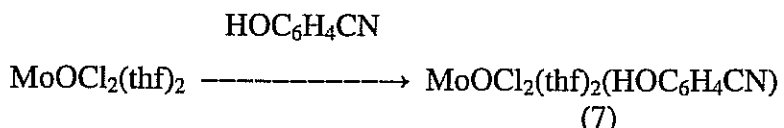
2.7.3. $\text{MoOCl}_2(\text{THF})_2$ bileşiğinin halkalı azot donoru ligandlarla reaksiyonları:

Cözgen ile stabilize edilmiş $[\text{MoOCl}_2(\text{thf})_2]$ bileşiğinin $\text{XC}_6\text{H}_4\text{Y}$ ($\text{X} = \text{NH}_2$, $\text{Y} = \text{CN}$, (2); $\text{X} = \text{OH}$, $\text{Y} = \text{CN}$, (4); $\text{X} = \text{NH}_2$, $\text{Y} = \text{NH}_2$, (5); $\text{X} = \text{NH}_2$, $\text{Y} = \text{OCH}_3$, (6) ile THF deki reaksiyonları sonucu tek çekirdekli imido-oksomolibden bileşikleri elde edilmiştir.



$$\text{R} = \text{OMe}, \text{NH}_2, \text{CN}$$

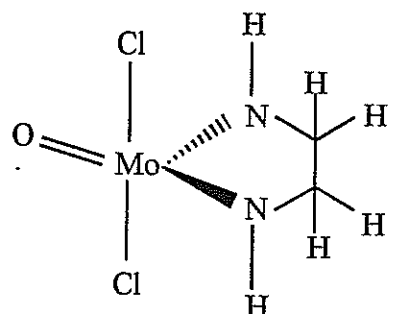
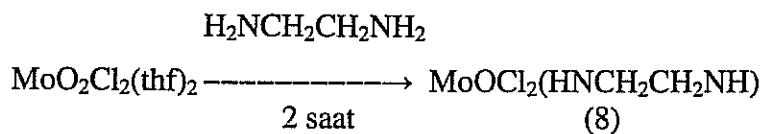
Şekil 6. $[\text{MoOCl}_2(\text{thf})_2(=\text{NC}_6\text{H}_4\text{Y})]$ bileşiklerinin yapısı ($\text{Y} = \text{NH}_2$, (4); CN , (5), OCH_3 , (6))



Şekil 7. $\text{MoOCl}_2\text{CN}(\text{C}_6\text{H}_4\text{OH})$ bileşiğinin yapısı

2.7.4. $\text{MoOCl}_2(\text{thf})_2$ Bileşiğinin etilendiamin ile reaksiyonu:

$\text{MoOCl}_2(\text{thf})_2$ bileşiğinin oda temperatüründe THF içinde etilendiamin ile reaksiyonu sonucu pembe renkli bileşik yüksek verimle ele geçmiştir.

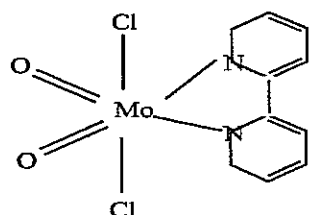
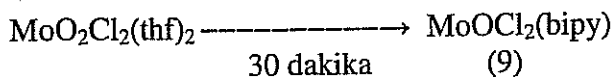


Şekil 8. $\text{MoOCl}_2(\text{HNCH}_2\text{CH}_2\text{NH})$ bileşiğinin yapısı

2.7.5. $\text{MoOCl}_2(\text{thf})_2$ Bileşinin bipiridin ile reaksiyonu:

$\text{MoOCl}_2(\text{thf})_2$ bileşinin oda temperatüründe THF içinde bipiridinle reaksiyonu sonucu pembe renkli bileşik yüksek verimle ele geçmiştir.

2,2'-bipiridin



Şekil 9. $\text{MoO}_2\text{Cl}_2(\text{bipy})$ bileşinin yapısı

Elde edilen yeni bileşikler havaya ve neme karşı hassas olup gelede kırmızı-kahverengi bir çözelti oluşturmaktadır. Genelde polar çözgenlerde çözünmekte dirler. Bileşiklerin hepsi $139-170^{\circ}\text{C}$ aralığında bozunmaktadır.

Tablo 5. (3)-(9)Bileşikleri için Fiziksel Özellikler

Bileşik	Formülü	Renk	m.p ($^{\circ}\text{C}$) (Bozunma)	Verim(%)
3	$[\text{MoOCl}_2(\text{THF})_2]$	sarı	151-152	50
4	$[\text{MoOCl}_2(\text{thf})_2(=\text{NC}_6\text{H}_4\text{NH}_2)]$	Açık kahve	145-146	49
5	$[\text{MoOCl}_2(\text{thf})_2(=\text{NC}_6\text{H}_4\text{CN})]$	Açık kahve	139-140	34
6	$[\text{MoOCl}_2(\text{thf})_2(=\text{NC}_6\text{H}_4\text{OCH}_3)]$	siyah	147-148	54
7	$[\text{MoOCl}_2(\text{thf})_2(\text{CNC}_6\text{H}_4\text{OH})]$	Koyu kahve	152-153	35
8	$[\text{MoOCl}_2(\text{thf})_2(\text{HNCH}_2\text{CH}_2\text{NH})]$	pembe	159-160	58
9	$[\text{MoOCl}_2(\text{thf})_2(\text{bipy})]$	pembe	167-170	56

2.7.6. Spektroskopik Veriler:

Yeni bileşiklere (3-9) ait IR verileri Tablo 6 de verilmiştir. $cis\text{-MoO}_2^{2+}$ grubuna ait simetrik ve antisimetrik gerilme titreşimlerinin 900 cm^{-1} de gözlemediği bilinmektedir. (Doonan, C.J, 2005). $[\text{MoO}_2\text{Cl}_2(\text{THF})_2]$ bileşiğinin 940 ve 905 cm^{-1} de iki tane piki bulunmaktadır. Bu çalışmada PPh_3 ün oksidasyonu ile elde edilen $[\text{MoOCl}_2(\text{THF})_2]$ (3) bileşiğinin IR spektrumu ise 937 cm^{-1} de sadece tek bir pik içermektedir. Bu durum oksomolibden(VI) bileşiğinden bir oksijen atomunun uzaklaştırıldığını destekleyen çok önemli bir kanıttır.

Diğer bütün yeni bileşiklere (4-9) ait Mo=O gerilme titreşimleri 960 cm^{-1} civarında, aromatik halkanın $\nu(\text{C-H})$ ve $\nu(\text{C=C})$ gruplarına ait pikler ise uygun yerlerinde gözlenmiştir (Tablo 6).

Tablo 6. (3-9) Bileşikleri için IR verileri

Bileşik	$\nu_{\text{Mo=O}}$	$\nu_{\text{Mo=N}}$	ν_{NH_2}	ν_{NH}	ν_{CN}	ν_{OH}
3	937	-	-	-	-	-
4	959	1208	gözlenmedi	gözlenmedi	2237	-
5	969	-	-	-	2233	3294
6	964	1206	gözlenmedi	3329	-	-
7	972	1259	1516	gözlenmedi	-	-
8	956	-	gözlenmedi		-	-
9	962	-	-	-	-	-

(4) nolu bileşiğin IR spektrumu NH_2 grubunun varlığını desteklemektedir. 3418 ve 3333 cm^{-1} de gözlenen pikler NH_2 grubuna ait simetrik ve antisimetrik gerilme titreşimleri olarak yorumlanmıştır. Bileşiğin IR spektrumunda genelde $\sim 3200\text{ cm}^{-1}$ civarında gözlemediği bilinen $\nu(\text{NH})$ titreşimine ait bir pik de görülmemektedir. Bu durumda (4) nolu bileşik için 1206 cm^{-1} de gözlenen pikin Mo=N gurubuna ait kabul edilebilir. Bileşiğin $^1\text{H NMR}$ spektrumunda $\delta 7.85$ de gözlenen singlet C_6H_4 guruna ait olup koordine olmamış amin $\delta 3.33$ da kendini ortaya çıkarmaktadır. Spektrumda NH gurubuna ait rezonans görülmemeside Mo=N bağının

mevcudiyetini desteklemektedir. Ohalde $[MoOCl_2(THF)_2]$ bileşiginin THF ile oda sıcaklığındaki reaksiyonu sonucu tek çekirdekli $[MoOCl_2(=NC_6H_4NH_2)]$ bileşiginin olduğu kabul edilebilir.

$[MoOCl_2(=NC_6H_4CN)]$ (5) bileşiginin IR spektrumunda 2237 cm^{-1} de gözlenen pik $C\equiv N$ gerilme titreşimi olarak değerlendirilmiş olup serbest liganda göre (2216 cm^{-1}) yüksek dalga boyuna kaymıştır. Spektrumda NH grubuna ait $\sim 3070\text{ cm}^{-1}$ de beklenen ve NH_2 grubunun simetrik ve antisimetrik titreşimlerine ait ~ 3370 ve 3450 cm^{-1} de gözlenmesi beklenen piklerin gözlenmemesi bileşikte $Mo=N$ veya $Mo\equiv N$ tipi bir bağlanmanın olabileceğini düşündürmüştür. Genelde $\nu_{(Mo=N)}$ or $\nu_{(M\equiv N)}$ titreşimlerini saptamak (i) Mo-N bağ derecesinin değişkenliğinden (ii) $Mo=N$ titreşiminin başka titrşimlerle özellikle komşu imido grubunun N-C titreşimi ile karşılaşabilmesi nedeniyle kolay değildir (Wigley, 1994). Ancak $\nu(Mo=N)$ titrşimi için $1100-1300\text{ cm}^{-1}$ aralığı önerilmiş olup (Kassim, 2002) daha önceden grubumuzda sentezlenen ve hepsinin yapıları X-Ray difraksiyon metodu ile aydınlatılan $[MoTp^*(O)Cl](\mu-O)[MoTp^*(Cl)(\equiv NC_6H_4Y)]$ ($Y = p\text{-F}, p\text{-Br}, m\text{-I}, m\text{-Cl}, p\text{-OMe}, p\text{-OEt}, p\text{-OPr}, p\text{-OBu}, p\text{-NO}_2$) bileşiklerinde $1200-1300\text{ cm}^{-1}$ de gözlenen pikler $\nu_{(Mo=N)}$ titreşimi olarak yorumlanmıştır (Topaloğlu-Sözüer 2004, 2005). Bu değerlendirmelere göre (5) bileşiği içinde 1208 cm^{-1} de görülen bandın $\nu(Mo=N)$ titreşimine ait olduğu düşünülmüş, (4) bileşigiden olduğu gibi (5) bileşiginde $Mo=N$ bağlı içeriği düşünülmüştür. 1H NMR verileride bu düşünceyi desteklemektedir zira NH ve NH_2 gruplarına ait hiçbir pik gözlenmemiştir. Aromatik halkanın varlığı $\delta 7.37$ ve $\delta 6.60$ de gözlenen iki dublet ile ispatlanmaktadır.

$[MoOCl_2(thf)_2]$ bileşiginin $H_2NC_6H_4CH_3$ reaksiyonundan elde edilen (6) nolu bileşığın IR spektrumunda tek bir $Mo=O$ gurubunu ve aromatik halkanın varlığını gösteren pikler olması gereken yerlerde gözlenmiştir. NH_2 ve NH gurubuna ait hiçbir pik gözlenmemiştir. Bu nedenle (4 ve 5) bileşiklerinde olduğu gibi 1259 cm^{-1} de görülen pikin $Mo=N$ gurubuna ait olduğu düşünülmüştür. $\delta 7.25$ ve $\delta 7.01$ de gözlenen iki singlet C_6H_4 halkasına aittir. $\delta 3.79$ da gözlenen pik ise aromatik halkaya bağlı OCH_3 gurubunun varlığını isptlamaktadır. Bu spektroskopik verilere göre (6) nolu bileşik $[MoOCl_2(=NC_6H_4OCH_3)]$ olarak formüle edilebilir.

(7) bileşiği için 1175 cm^{-1} de gözlenen pik ν_{C-OH} olarak değerlendirilmiş olup OH grubunun deprotonasyona uğramadığını ve molibden atomuna bağlanmadığını göstermektedir. 2233 cm^{-1} de gözlenen band ν_{CN} olarak yorumlanmıştır. Benzer şekilde daha önceden sentezlenen ve yapısı aydınlatılan $[MoTp^*(NO)X(ZC_6H_4CN-p)]$ [$Tp^* = 3,5\text{-dimetillpirazol}$; $X =$

Cl, Z = O and NH; X = I, Z = CN) bileşiklerindeki *p*-konumunda bağlı CN grubu da IR spektrumlarında ~ 2223 cm⁻¹ de gözlenmiştir (Topaloğlu-Sözüer, 2005). (7) nolu bileşiğe ait ¹H NMR spektrumunda δ 10.5 da gözlenen singlet halkaya bağlı OH grubuna ait olup δ 7.5 ve δ 6.9 da gözlenen iki dubletde aromatik halkaya aittir.

Tablo 7. (4-9) Bileşikleri için ¹H NMR Verileri (400 MHz, 293 K, DMSO)

Bileşik No	Kapalı Formülü	δ_H^b	Açıklama
4	[MoOCl ₂ (thf) ₂ (=NC ₆ H ₄ NH ₂)]	7.85	(s, 4H, C ₆ H ₄)
		3.33	(s, 2H, NH ₂)
5	[MoOCl ₂ (thf) ₂ (=NC ₆ H ₄ CN)]	7.37	(d, 2H, J (HH) 9, C ₆ H ₄)
		6.60	(d, 2H, J (HH) 9, C ₆ H ₄)
6	[MoOCl ₂ (thf) ₂ (=NC ₆ H ₄ OCH ₃)]	7.25	(d, 2H, J (HH) 11, C ₆ H ₄)
		7.01	(d, 2H, J (HH) 11, C ₆ H ₄)
		3.79	(s, 3H, OCH ₃)
7	[MoOCl ₂ (thf) ₂ (CNC ₆ H ₄ OH)]	10.5	(s, 1H, OH)
		7.50	(d, 2H, C ₆ H ₄)
		6.90	(d, 2H, C ₆ H ₄)
8	[MoOCl ₂ ((HNCH ₂ CH ₂ NH)]	4,7	(s, 4H, HNCH ₂ CH ₂ NH)
9	[MoOCl ₂ (bipy)]	8.8-7.6	(m, bipy)

^b DMSO'da; ^c *J* değeri, Hz

Tablo 8. (4-9) Bileşikleri için ^{13}C NMR Verileri (400 MHz, 293 K, DMSO)

Bileşik No	Kapalı Formülü	$\delta_{\text{C}}^{\text{b}}$
4	$[\text{MoOCl}_2(\text{thf})_2(=\text{NC}_6\text{H}_4\text{NH}_2)]$	132.7, 132.2, 129.4, 119.3
5	$[\text{MoOCl}_2(\text{thf})_2(=\text{NC}_6\text{H}_4\text{CN})]$	153.6, 134.1, 132.2, 129.4, 121.3, 114.1, 96.2
6	$[\text{MoOCl}_2(\text{thf})_2(=\text{NC}_6\text{H}_4\text{OCH}_3)]$	155.1, 120.0, 115.3, 56.0
7	$[\text{MoOCl}_2(\text{thf})_2(\text{CNC}_6\text{H}_4\text{OH})]$	162.3, 137.3, 134.8, 132.7, 129.4
8	$[\text{MoOCl}_2((\text{HNCH}_2\text{CH}_2\text{NH})]$	42.2
9	$[\text{MoOCl}_2(\text{bipy})]$	132.7, 132.2, 129.5, 129.4

2.8. Sonuç:

Projenin ilk aşamasında susuz ortamda $\text{Tp}^*\text{MoOCl}_2$ bileşığının *p*-substitiye anilinlerle reaksiyonları sonucu elde edilen ve Mo-O-Mo köprüsü içeren yeni okso-Mo(V) bileşiklerinin yapısı spektroskopik yöntemlerle aydınlatıldıktan sonra üzerinde elektrokmiyasal çalışmalar yapılmış ve reaksiyon mekanizmaları ayrıntılı olarak incelenmiştir. Bu bileşiklerin hem Mo-O-Mo köprüsü içeren, hem de trispirazolborat ligandına sahip literatürdeki ilk oxo-imido molibden bileşikleri olmaları bakımından çok ilginç oldukları düşünülmektedir. (Bu çalışmalarдан elde edilen sonuçlar “*Inorganica Chimica Acta*” 358 (2005) 3303–3310, sayısında yayınlanmıştır.)

Sulu ortamlarda yapılan reaksiyonlar ise daha önceden literatürde rapor edilmiş olan $[\{\text{MoTp}^*(\text{O})\text{Cl}\}_2(\mu-\text{O})]$ bileşığının oluşumu ile sonuçlandırılmıştır ve bu bileşığın elde edilmesi için daha önceden belirtilmiş yöntemlere ek olarak yeni bir sentez yolu önerilmiştir.

Projenin ikinci aşamasında oksomolibden(VI) bileşigiden, $[\text{MoO}_2\text{Cl}_2(\text{THF})_2]$, bir oksijen atomunun oksijen atom transfer (OAT) reaksiyonu ile uzaklaşması sonucu elde edilen

oxomolibden(IV), $[MoOCl_2(\text{THF})_2]$, bileşiginin bazı aromatik azot donorları ile reaksiyonlarıyla reaksiyonları incelenmiştir. Elde edilen bileşiklere ait olarak ^1H , ^{13}C , IR verileri mevcuttur. IR ölçümleri üniversitemiz bünyesinde, NMR ölçümleri ise Ege Üniversitesinde yapılmıştır. Üniversitemiz bünyesindeki elementel analiz cihazı bir süredir bozuk olduğundan ve başka bir kurumda yaptırımları için maddi destek kalmadığından örnekler yurt dışında iyi ilişkiler içinde bulunduğuımız araştırma kurumlarına gönderilmiştir. Kütle analizleri içinse gerek üniversitemizde gerekse bir başka kurumda olanak bulunamadığından örnekler kendi imkanlarımız ölçüsünde yurt dışındaki bir araştırma kurumuna gönderilecektir. Bilindiği gibi bu ve benzeri analizler sentez ve yapı tayini üzerine çalışanlar için çok temel olmasına rağmen hala sorunlar yaşanabilmektedir. Bununla birlikte ikinci kısmında elde edilen yeni bileşikler için önerdiğimiz yapıları mevcut spektroskopik verilerle desteklediğimizi düşünüyoruz. Elde edilen sonuçlar yayın haline getirilmek üzere hazırlanmaktadır.

Sentez çalışan diğer araştırmacılar gibi tabiiki bizde elde ettiğimiz yeni bileşiklerin tek kristalini yaparak X-ray analizlerini gerçekleştirmek isteriz. Bilindiği gibi bu zaman isteyen bir çalışmada ve bu konudaki çalışmalarımız devam etmektedir.

Giriş kısmında da bahsedildiği gibi, molibdenin endüstriyel ve biyokimyasal uygulamaları çok önemlidir. Son zamanlarda tek çekirdekli molibden bileşiklerinin enzimatik fonksiyonlarının incelenmesi hem biyoinorganik hemde koordinasyon kimyası çalışanların ilgisini çekmiştir. Bu gelişmelere parallel olarak son zamanlarda molibden içeren tek çekirdekli model enzimlerin oksijen atom transfer (OAT) reaksiyonları çok ilgi çekmektedir. Yakın gelecekte bizde bu projenin ikinci kısmında elde ettiğimiz sonuçlardan hareketle elde edeceğimiz oksomolibden bileşiklerinin OAT reaksiyonları ve enzimatik özelliklerinin araştırılması üzerinde yoğunlaşacağız.

Son söz olarak, çok olumlu sonuçlar elde ettiğimiz bu projeyi gerçekleştirebilmemiz için yapmış olduğu destekten dolayı TÜBİTAK'a teşekkürlerimizi sunarız.

YARARLANILAN KAYNAKLAR
EK 2

Arzoumamian, H., Coordination Chemistry Chem. Reviews 19, 178-180 (1998).

Arzoumamian, H, Bakhtchadjian R.; Atencio, R., Brienco, A., Verde, G., Agrifoglio, R., Journal of Molecular Catalysis,260, 197-201 (2006).

Doonan, C.J., Millar, A.J., Young, C.G., Inorg. Chem., 44, 4506-4514 (2005).

Kuhn, F.E. Santos, A.M. Roesky, P.E Herdtweck, E. Scherer, E. Gisdakis, W. Yudanov, I.L. Valentin, C. Rösch, N., Chemistry –A European Journal, 5, 3603-3615 (1999).

Herdweck, E., Kuhn, F.F., Haider, J.J., Herrmann, W.A., Herdtweck E, Goncalves, I.S., Lopes, A.D., Romao, C.C., J. Organomet. Chem., 583, 3-11 (1999).

Miller, A. Donan, C. Laughlin, E.R.T. Young, C., Inorg. Chim. Acta, 337, 393-406, (2002).

Topaloglu-Sozuer, I. Gunyar, A. Jeffery, J.J. Hamidov, H., Transition Metal Chemistry 29, 780-785. (2004).

Topaloglu-Sozuer, I. Dulger-Irdem, S. Jeffery, J.J. Hamidov, H. Şenturk, O.S. Z. Naturforsch, 60b(1), 15-21., (2005).

Topaloglu-Sozuer, I. Dulger-Irdem, S. Jeffery, J.J. Hamidov, H., Journal of Coordination Chemistry, 58(2), 175-187, (2005).

Trafimienko, S., Inorganic Chemistry. 10, 504-507 , (1971).

PROJE ÖZET BİLGİ FORMU

Proje Kodu: TBAG-2469
Proje Başlığı: Oksomolibdentríspirazolborat bileşiklerinin susuz ve sulu ortamlarda anilin ve fenol türleriyle reaksiyonları
Proje Yürüttücsü ve Yardımcı Araştırmacılar: Prof. Dr. İşil Topaloğlu-Sözüer Arş. Gör. Alev Günyar
Projenin Yürüttüğü Kuruluş ve Adresi: İzmir İleri teknoloji Enstitüsü, Fen Fakültesi, Kimya Bölümü, Gülahçe Köyü, Urla-İzmir
Destekleyen Kuruluş(ların) Adı ve Adresi: TÜBİTAK, Atatürk Bulvarı No:221 İYTE, Gülbahçe, Urla-İzmir
Projenin Başlangıç ve Bitiş Tarihleri: 1.07.2004-30.09.2006
Öz Bu projenin ilk kısmı okso-Mo(VI) bileşiklerinin susuz ve sulu ortamlarda $[MoTp^*(O)Cl_2]$ ($Tp^* = 3,5$ -dimetil pirazol borat) bileşığının anilin ve fenollerle reaksiyonlarını içermektedir. Bu reaksiyonlardan bimetalik Mo-O-Mo köprüsü içeren bileşikler elde edilmiş olup bu bileşikler üzerinde elektrokimyasal çalışmalarda yapılmıştır. İkinci kısımda ise MoO_2Cl_2 bileşığının N-donoru aromatik ligandlarla reaksiyonları incelenmiştir. Elde edilen yeni bileşiklerin yapısı çeşitli spektroskopik yöntemlerle aydınlatılmıştır.
Anahtar Kelimeler: Molibden, okso bileşikleri, okso-molibden, trispirazolborat
Projeden Kaynaklanan Yayınlar:
1) Synthesis, Characterization and Electrochemical Behavior of Oxo-Bridged (Arylimido)[tris(3,5-dimethylpyrazolyl)borato]molybdenum(V)Complexes, I.Topaloglu-Sozuer, A. Gunyar, S. Dulger Irdem, M. Baya, R. Poli, Inorganica Chimica Acta, 2005, 358, 3303.
2) Synthesis, Characterization and Electrochemical Behavior of Oxo-Bridged (Arylimido)[tris(3,5-dimethylpyrazolyl)borato]molybdenum(V)Complexes 1 st European Chemistry Congress, I.Topaloglu-Sozuer, A. Gunyar, S. Dulger Irdem, M. Baya, R. Poli, 27-31 Agust 2006 Budapest.
3) Synthesis and spectroscopic preparation of oxo-molybdenum compounds containing aromatic N-donor ligands. (hazırlanıyor)
Bilim Dalı: Kimya
Doçentlik B. Dalı Kodu: 201